

1. はじめに

本手法は、形状最適化の試行過程において、節点座標の変更による応力の変化率を直接、数値微分によって求め、これにより、従来、板厚変化あるいは要素面積の相似形による拡大・縮少等の方法によつて求められた解に比べ、より正確な形状最適化を目指すものである。

2. 最適化手法について

今、有限要素解析により各要素の応力 $\{\sigma_j\}$ は、

$$\{\sigma_j\} = [D][B]\{d\} \quad (1)$$

ここで $[D]$: 応力ひずみマトリックス

$[B]$: 変位ひずみマトリックス

$\{d\}$: 変位ベクトル

と表わされてゐる。各回目の試行によって得られる応力を σ_j^{k+1} と表わすと

$$\sigma_j^{k+1} = \sigma_j^k + \sum_{i=1}^n \frac{\partial \sigma_j^k}{\partial x_i} \cdot \Delta x_i \quad (2)$$

ここで n : 移動可能節点座標数

x_i : 節点座標

Δx_i : 節点座標の移動量

となり、この σ_j^{k+1} が基準応力のとなるためには(2)式の左辺を0とおいて

$$\sigma_0 = \sigma_j^k + \sum_{i=1}^n \frac{\partial \sigma_j^k}{\partial x_i} \cdot \Delta x_i \quad (3)$$

とすると Δx_i を求めればよいことになる。このため x_i として要素総数 m と同じ数だけの移動可能座標を選んでおくと、(3)式から次式を得る。

$$\begin{cases} \sigma_0 - \sigma_j^k \\ \sigma_0 - \sigma_1^k \\ \vdots \\ \sigma_0 - \sigma_m^k \end{cases} = \begin{pmatrix} \frac{\partial \sigma_j^k}{\partial x_1} & \frac{\partial \sigma_j^k}{\partial x_2} & \cdots & \frac{\partial \sigma_j^k}{\partial x_m} \\ \frac{\partial \sigma_j^k}{\partial x_1} & \frac{\partial \sigma_j^k}{\partial x_2} & \cdots & \frac{\partial \sigma_j^k}{\partial x_m} \\ \vdots & \vdots & \ddots & \vdots \\ \frac{\partial \sigma_j^k}{\partial x_1} & \frac{\partial \sigma_j^k}{\partial x_2} & \cdots & \frac{\partial \sigma_j^k}{\partial x_m} \end{pmatrix} \begin{pmatrix} \Delta x_1 \\ \Delta x_2 \\ \vdots \\ \Delta x_m \end{pmatrix} \quad (4)$$

これを $\{\sigma_0 - \sigma_j^k\} = [\frac{\partial \sigma_j^k}{\partial x_i}] \{\Delta x_i\}$ (5)

とすると、各節点座標の改訂量 Δx_i が次式によつて計算される。

$$\{\Delta x_i\} = \left[\frac{\partial \sigma_j^k}{\partial x_i} \right]^{-1} \{\sigma_0 - \sigma_j^k\} \quad (6)$$

1) $\frac{\partial \sigma_j^k}{\partial x_i}$ の計算

$\frac{\partial \sigma_j^k}{\partial x_i}$ は座標の変更による応力の変化率であるから、(1)から直接、数値微分によつて求めることが可能であるが、この方法によれば、移動可能座標数 n 個の構造

解析を必要とし、多大の計算時間を要する。このため、本法では次のようふれ求められる。

(1) から $[D]$ は x_i と無関係なので

$$\frac{\partial \{\sigma_j\}}{\partial x_i} = [D] \frac{\partial \{B\}}{\partial x_i} \{d\} + [D][B] \frac{\partial \{d\}}{\partial x_i} \quad (7)$$

となり、一方全體剛性方程式

$$[K] \{d\} = \{P\}$$

ここで $[K]$: 刚性マトリックス

$\{P\}$: 荷重ベクトル

の両辺を x_i で微分すると $\{P\}$ は x_i と無関係であるから

$$\frac{\partial \{K\}}{\partial x_i} \{d\} + [K] \frac{\partial \{d\}}{\partial x_i} = 0$$

$$\therefore \frac{\partial \{d\}}{\partial x_i} = -[K]^{-1} \frac{\partial \{K\}}{\partial x_i} \{d\} \quad (8)$$

となる。これを(7)へ代入すると結局

$$\frac{\partial \{\sigma_j\}}{\partial x_i} = [D] \frac{\partial \{B\}}{\partial x_i} \{d\} - [D][B][K]^{-1} \frac{\partial \{K\}}{\partial x_i} \{d\} \quad (9)$$

が得られる。(9)式における微分項は次式により数値微分にて求めた。

$$\frac{\partial \{B\}}{\partial x_i} \div \frac{1}{\Delta h} \left\{ [B]_{x_i+\Delta h} - [B]_{x_i} \right\} \quad (10)$$

$$\frac{\partial \{K\}}{\partial x_i} \div \frac{1}{\Delta h} \left\{ [K]_{x_i+\Delta h} - [K]_{x_i} \right\} \quad (11)$$

この方法によると、先述述べたように、移動可能座標を $x_i + \Delta h$ とした時の $[B]$, $[K]$ を求めただけで、他のマトリックスは各回目に構造解析しない際の値を使用することができる、 $\frac{\partial \sigma_j^k}{\partial x_i}$ が計算される。

2) 基準応力

要素の状態を示す基準応力としては Von Mises の相当応力等、各種の材料に適当な主応力 σ_x , σ_y から求まる値を使用することができる。ここでは各要素の主応力の絶対値の大きさを用いることとし、この基準応力 σ_0 が連続体全体に均一化されるとして考える。このため(6)式で使われる $\frac{\partial \sigma_j^k}{\partial x_i}$ は(9)式の 5 求め 3 $\frac{\partial \{\sigma_j\}}{\partial x_i}$ から

$$\begin{aligned} \frac{\partial \sigma_j^k}{\partial x_i} &= \frac{1}{2} \left(\frac{\partial \sigma_x}{\partial x_i} + \frac{\partial \sigma_y}{\partial x_i} \right) \pm \frac{1}{2} \left\{ \left(\frac{\partial \sigma_x}{\partial x_i} - \frac{\partial \sigma_y}{\partial x_i} \right)^2 + T_{xy} \right\}^{1/2} \\ &\times \left\{ \frac{1}{2} \left(\sigma_x - \sigma_y \right) \left(\frac{\partial \sigma_x}{\partial x_i} - \frac{\partial \sigma_y}{\partial x_i} \right) + T_{xy} \frac{\partial \sigma_{xy}}{\partial x_i} \right\} \end{aligned} \quad (12)$$

として計算した。

3) 改訂移動量の制限

(6)式から求まる $\{\Delta x_i\}$ は必ずしも大きすぎる場合等、大きさは改訂を要求し、次の試行では一部の要素面積が負となる不合理が発生する。このため、節点移動12移動制限 (move limit) を設け、各要素面積が負とならないよう計算した。したがって実際の改訂は次式で行なわれる。

$$x_i^{k+1} = x_i^k + \varepsilon \Delta x_i \quad (0 < \varepsilon \leq 1) \quad (13)$$

4) 計算の流れ

本手法の全体フローチャートおよび形状改訂サブルーチンのフローチャートを図1、2に示す。

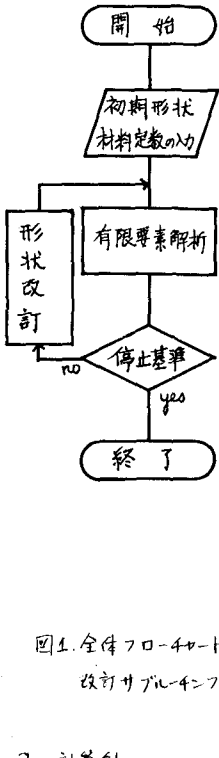


図1. 全体フロー・チャートおよび形状改訂サブルーチンフロー・チャート

3. 計算例

本計算手法の確認をするため、ごく簡単なモデルについて計算した。図2、3の例である。

図2は要素数2の場合の例で、要素数と等しい移動可能座標については、 X_3, Y_3 を選んだ。この計算はおよそ6回の試行で収束し、その都度の応力の改善状況を図4に示すものである。

また、図3は3要素で下の例で、移動可能座標として、 X_5, Y_5 、および支持点のY座標 Y_1 の3つを選んだ。この場合の形状改訂はおよそ4回で収束し、図5

のような応力改善が行なわれる。

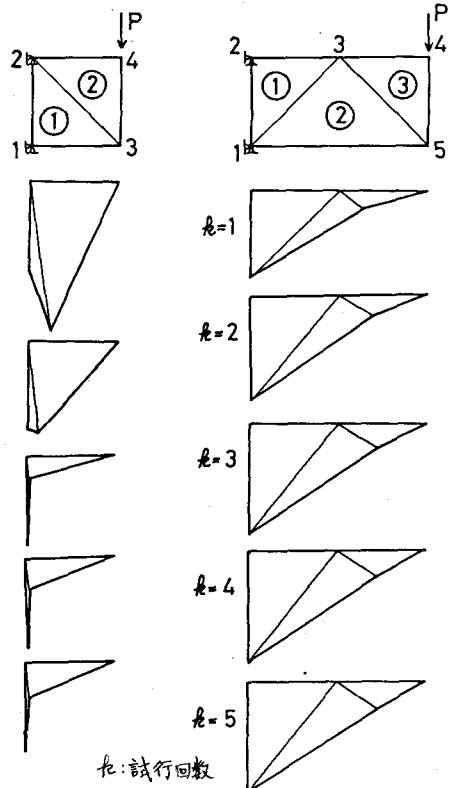


図2. モデル1の形状改訂過程

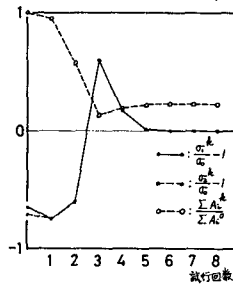
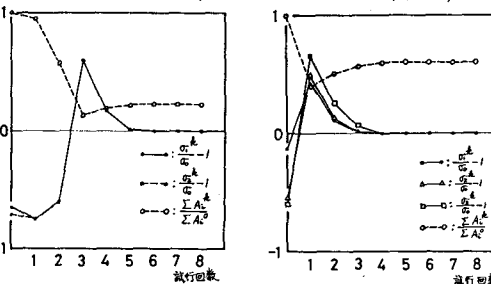


図4. モデル1の応力改善状況

図5. モデル2の応力改善状況



4. おわりに

このように本法によれば、ごく簡単なモデルの形状改訂は比較的短い試行回数で収束し最適形状を得た。しかし、制約条件と一緒にする移動可能節点の選い方、要素数の多い場合、要素面積を0とするより改善の次の試行での処理、3)試行中の要素形状の平均化等の問題がある。今後、これらを解決し、さらなる研究を進めていきたいと考えている。

<参考文献>

- ① Uri Kirsch, 最適構造設計—概念・方法・応用, 丸善